

УДК 551.24:552.32(571.66)

## КАМПАНСКИЙ ЭТАП ГРАНИТООБРАЗОВАНИЯ НА ЮГЕ СРЕДИННОГО ХРЕБТА КАМЧАТКИ: НОВЫЕ U–Pb-SHRIMP-ДАННЫЕ

© 2010 г. М. В. Лучицкая, А. В. Соловьев

Представлено академиком Ю.М. Пущаровским 21.04.2009 г.

Поступило 30.04.2009 г.

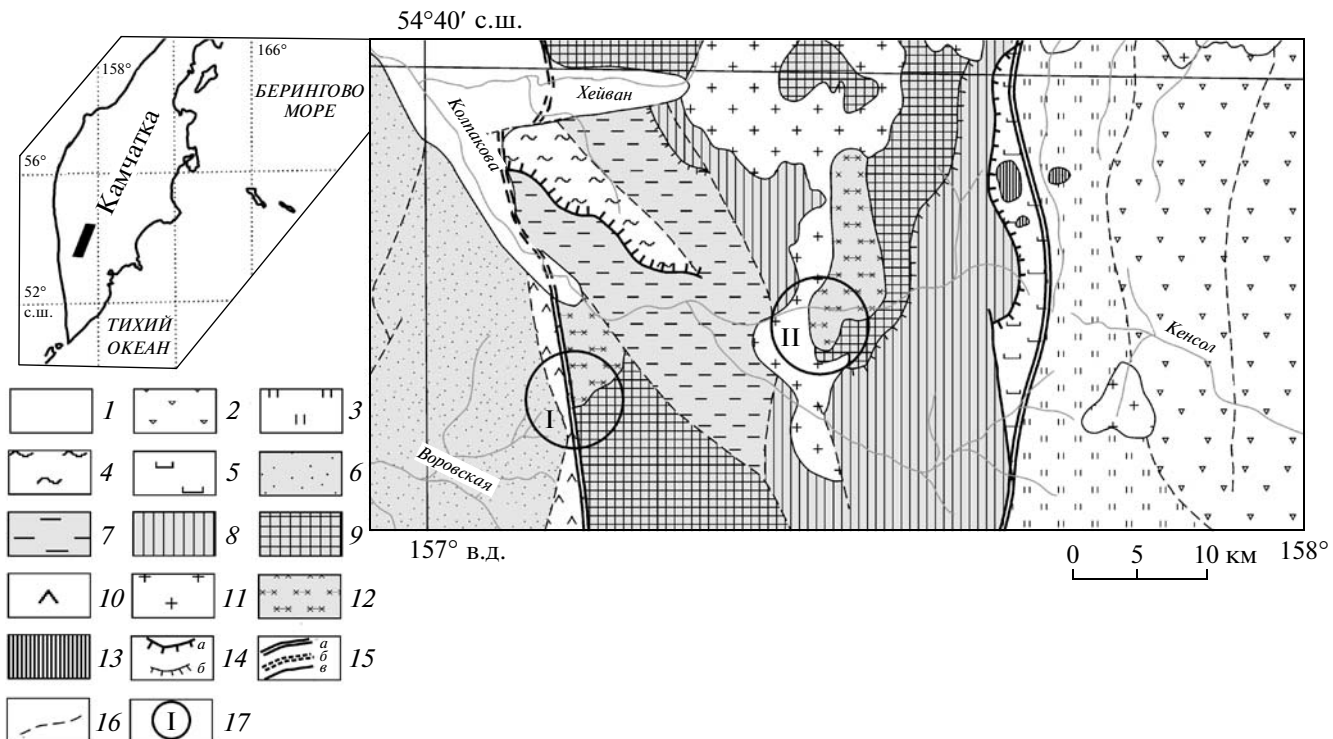
Континентальная кора Камчатки является новообразованной, так как большая часть ее гранитно-метаморфического слоя сформировалась в конце позднего мела—палеогене. Процессы гранитообразования и метаморфизма широко проявлены в пределах Малкинского поднятия Срединного хребта Камчатки, являющегося хорошим объектом для изучения процессов формирования континентальной коры в мезо-кайнозое. Изучение этих процессов на принципиально новом уровне стало возможно лишь с появлением новых прецизионных методик геохронологии, таких как U–Pb-SHRIMP-датирование циркона. Именно использование таких методик позволило в последние годы выделить два этапа гранитообразования и становления новообразованной континентальной коры Камчатки: позднемеловой (80–77 млн. лет) и раннеэоценовый (52 млн. лет) [1, 2]. Раннеэоценовый этап гранитообразования и метаморфизма, совпадающий с временем коллизии Ачайвам-Валагинской энсиматической островной дуги с Камчатской окраиной Евразии, хорошо обоснован [1, 3]. Однако выделение кампанского этапа опиралось на весьма ограниченное количество данных и вызывало много споров о природе этого явления. Предполагалось, что позднемеловой этап связан с аккреционной обстановкой на Камчатской окраине Евразии [2]. Для подтверждения масштабности проявления кампансского гранитного магматизма на юге Срединного хребта в 2004–2005 гг. были проведены детальные тематические исследования. В результате этих работ удалось обосновать значение кампансского этапа гранитообразования для формирования континентальной коры.

Согласно работам последних лет, структура Малкинского поднятия Срединного хребта рассматривается как покровно-складчатая [1, 4, 5]. В состав автохтона включены образования колпаковской серии, прорванные гнейсовидными кру-

тогоровскими гранитами и перекрытые отложениями камчатской серии, хейванской и хозгонской свит. Аллохтон сложен отложениями андриановской, химкинской, ирунайской и кирганикской свит. К неоавтохтону в Срединном хребте относятся нижнеэоценовые отложения барабской свиты,несогласно перекрывающие как метаморфические комплексы, так и меловые отложения ирунайской свиты [1].

Гранитоиды Малкинского поднятия Срединного хребта представлены двумя типами: гнейсовидными и равномернозернистыми [1, 2], структурная позиция которых принципиально различна. Считается, что гнейсовидные граниты прорывают только образования колпаковской серии и их формирование произошло в кампане, в то время как равномернозернистые граниты имеют раннеэоценовый возраст и прорывают как комплексы автохтона, так и нижних частей аллохтона. Таким образом, была сделана попытка использовать текстурные особенности гранитоидов в качестве критерия для разделения их по возрастам: гнейсовидные — кампанские, равномернозернистые — раннеэоценовые. Имеющиеся на тот момент геохронологические данные подтверждали это [1, 2]. Однако полученные новые данные показали, что имеются исключения.

Цирконы для геохронологических исследований были выделены и изучены как из гнейсовидных (438/1 и 439/1), так и из равномернозернистых (427/1) гранитоидов. Пробы 438/1 и 439/1 отобраны в правом борту р. Поперечная ( $54^{\circ}27,405'$ с.ш.,  $157^{\circ}09,850'$ в.д., 945 м и  $54^{\circ}26,194'$ с.ш.,  $157^{\circ}09,650'$ в.д., 993 м соответственно) (рис. 1). Первая представлена биотитовыми гнейсовидными гранитами, вторая — слабогнейсовидными двуслюдяными гранитами с гранатом. Проба 427/1 отобрана из среднезернистых двуслюдяных гранитов в районе р. Правая Колпакова ( $54^{\circ}32,472'$ с.ш.,  $157^{\circ}24,272'$ в.д., 1303 м), которые прорывают сланцы и гнейсы автохтона и содержат их ксенолиты.



**Рис. 1.** Схема геологического строения района р. Колпакова Срединного хребта Камчатки по [10, 11] с изменениями авторов. 1 – четвертичные отложения; 2 – вулканогенные и осадочно-вулканогенные отложения кирганикской свиты (маастрихт–палеоцен); 3–5 – сантон–кампанские кремнисто-вулканогенные отложения и их метаморфизованные аналоги: 3 – ирунейской свиты, 4 – химкинской свиты, 5 – андриановской свиты; 6–8 – верхнемеловые–палеоценовые терригенные отложения и их метаморфические аналоги: 6 – хозгонской свиты, 7 – хейванской и стопольниковской свит, 8 – камчатской серии (шихтинской свиты); 9 – нижне- и верхнемеловые метаморфические образования колпаковской серии; 10 – верхнеюрские–нижнемеловые (?) вулканогенные образования квахонской серии; 11 – эоценовые равномернозернистые гранитоиды; 12 – верхнемеловые гнейсовидные граниты и гранито-гнейсы круто-горловского комплекса; 13 – верхнемеловые (кампан–маастрихт) интрузии пироксен–таббробо–сиенитового состава; 14 – надвиги: а – главные (между автохтоном и аллохтоном), б – второстепенные; 15 – субвертикальные разрывы: а, б – главные: а – картируемые, б – предполагаемые, в – второстепенные; 16 – предполагаемые разрывы; 17 – участки отбора проб (I – верховья р. Поперечная, правый приток р. Колпакова, II – среднее течение р. Правая Колпакова).

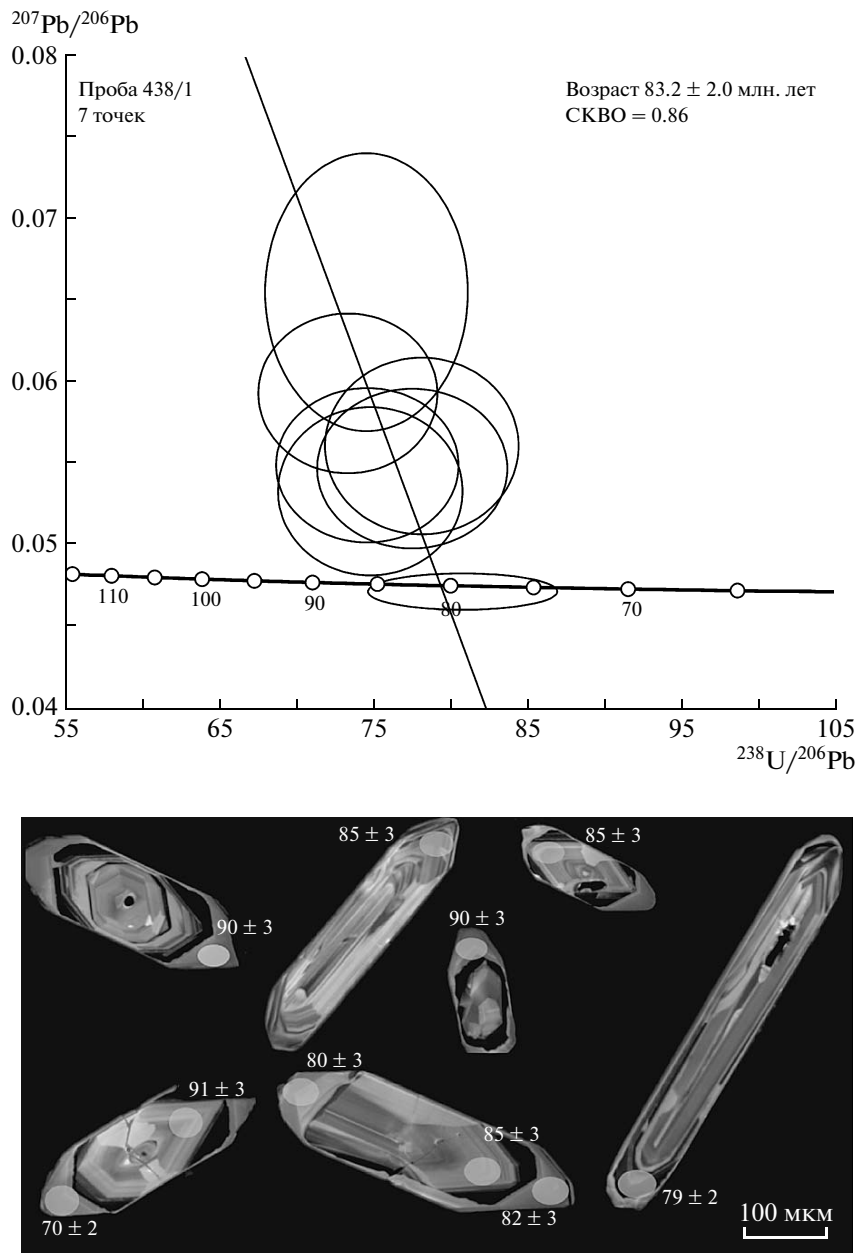
**Аналитические методы.** U–Pb-датирование цирконов осуществлялось Д.И. Матуко- вым и С.Л. Пресняковым на ионном микрозонде SHRIMP-II в Центре изотопных исследований ВСЕГЕИ.

Отобранные вручную зерна цирконов имплантировались в эпоксидную смолу вместе с зернами стандартных цирконов TEMORA и 91500, затем пришлифовались и полировались. Для выбора участков (точек) датирования на поверхности зерен использовались оптические (в проходящем и отраженном свете) и катодолюминесцентные изображения, отражающие внутреннюю структуру и зональность цирконов.

Измерения U–Pb-отношений на SHRIMP-II проводили по методике, описанной в [6]. Интенсивность первичного пучка молекулярных отрицательно заряженных ионов кислорода составляла 2 нА, диаметр пятна (кратера) 15 мкм. Обработку полученных данных осуществляли с

использованием программы SQUID [7]. U–Pb-отношения нормализовались на значение 0.0668, присданное стандартному циркону TEMORA, что соответствует возрасту этого циркона 416.75 млн. лет [8]. Погрешности единичных анализов (отношений и возрастов) приводятся на уровне  $1\sigma$ , погрешности вычисленных конкордантных возрастов и пересечений с конкордией приводятся на уровне  $2\sigma$ . Построение графиков с конкордией проводилось с использованием программы ISOPLOT/EX [9].

**U–Pb-SHRIMP-данные.** Цирконы из гнейсовидных гранитоидов (пробы 438/1, 439/1) представлены идиоморфными коротко- и удлиненно-призматическими кристаллами размером от 80 до 400 мкм. Катодолюминесцентные изображения кристаллов циркона показывают наличие зональности, параллельной кристаллографическим ограничениям, и отсутствие ксеногенных ядер (рис. 2, 3), что указывает на магматическое



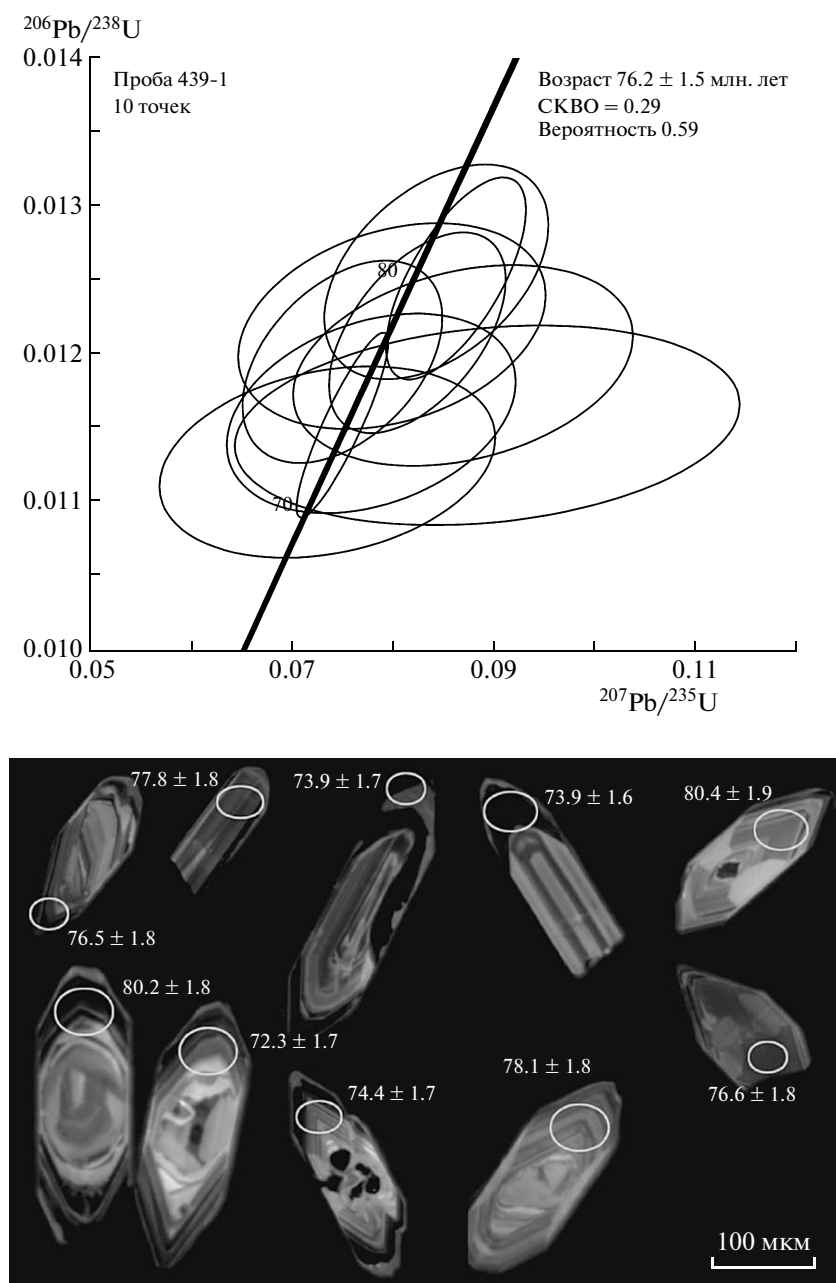
**Рис. 2.** График конкордии для U—Pb-SHRIMP-данных по цирконам из гнейсовидных гранитов (обр. 438/1) Малкинского поднятия Срединного хребта Камчатки и катодолюминесцентные изображения цирконов. Здесь и на рис. 3, 4 светлые кружки показывают точку измерения, цифры — возраст.

происхождение популяции цирконов. Средневзвешенное значение возраста в пробе 438/1 по 7 точкам составляет  $83.1 \pm 2.0$  млн. лет (рис. 2, табл. 1) и в пробе 439/1 по 10 точкам  $76.2 \pm 1.5$  млн. лет (рис. 3, табл. 1).

Цирконы из среднезернистых двуслюдянных гранитов (обр. 427/1) представлены идиоморфными коротко- и удлиненно-призматическими кристаллами размером от 100 до 250 мкм. Катодолюминесцентные изображения кристаллов циркона, так же как и в случае гнейсовидных гранитов, свидетельствуют о магматической зонально-

сти и отсутствии ксеногенных ядер (рис. 4). Средневзвешенное значение возраста по 8 точкам составляет  $81.0 \pm 1.8$  млн. лет, СКВО = 0.86 (рис. 4, табл. 1). Кроме того, в единичном кристалле циркона были получены два значения возраста, составляющие  $54.0 \pm 1.4$  и  $58.5 \pm 1.6$  млн. лет. Появление этого зерна в пробе, скорее всего, связано с контаминацией при выделении цирконов из породы.

Полученные U—Pb-датировки цирконов позволяют предполагать, что внедрение и кристаллизация гранитоидов происходили в интервале



**Рис. 3.** График конкордии для U–Pb-SHRIMP-данных по цирконам из гнейсовидных гранитов (обр. 439/1) Малкинского поднятия Срединного хребта Камчатки.

времени от  $76.2 \pm 1.5$  до  $83.1 \pm 2.0$  млн. лет, что соответствует позднемеловому (кампанскому) этапу гранитообразования. Поскольку и гнейсовидные, и равномернозернистые имеют одинаковый возраст в пределах точности метода, то становится очевидным, что текстурный критерий отнесения гранитоидов к тому или иному возрасту в данном районе не является универсальным.

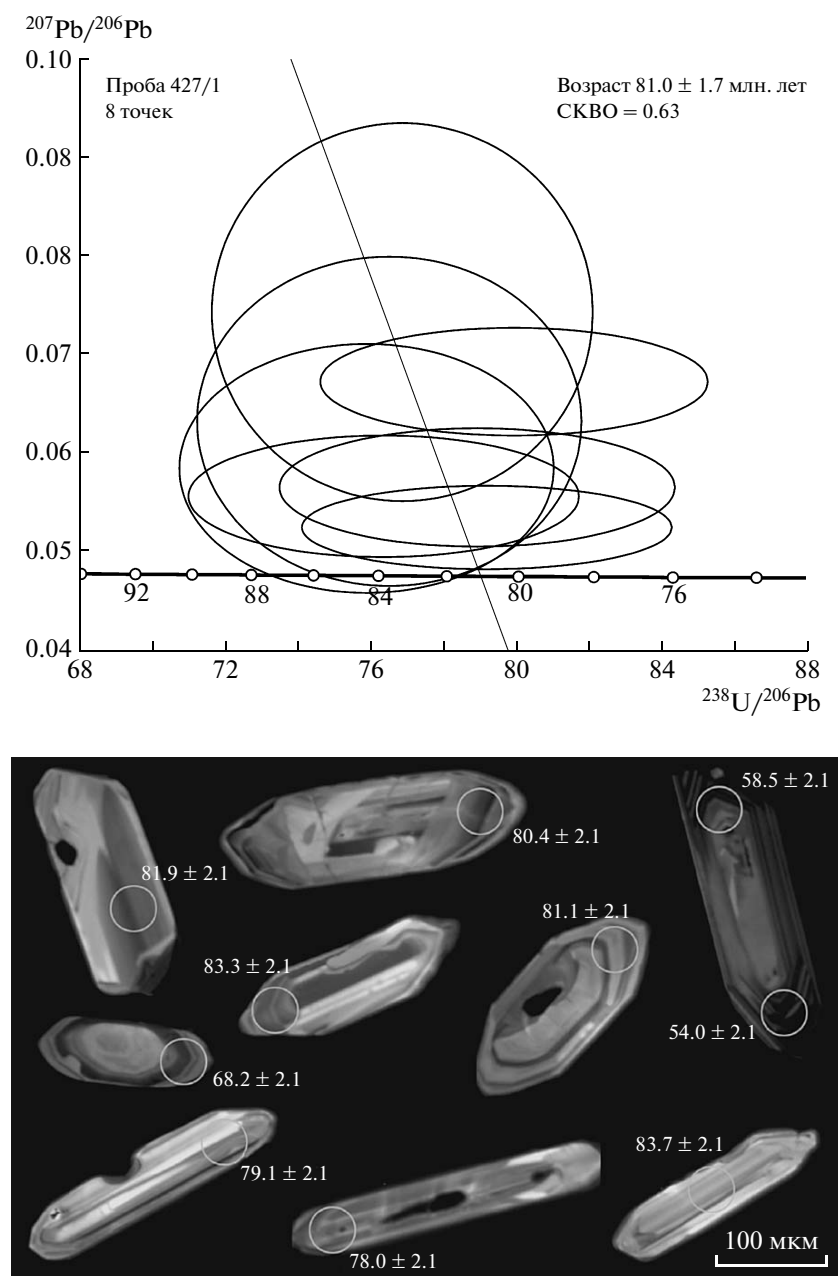
Анализ изложенных выше данных и сопоставление с ранее полученными датировками цирконов из гранитоидов других районов Малкинского

поднятия Срединного хребта, а также распределение U–Pb-SHRIMP-данных по площади показывают, что в северных районах поднятия преобладают граниты раннеэоценового возраста ( $52 \pm 2$  млн. лет), а в южных — граниты позднемелового возраста ( $76$ – $82$  млн. лет).

**Выводы** 1. U–Pb-SHRIMP-датирование цирконов из гранитоидов Малкинского поднятия Срединного хребта Камчатки позволило обосновать возраст их внедрения и кристаллизации в интервале времени от  $76.2 \pm 1.5$  до  $83.1 \pm 2.0$  млн. лет.

**Таблица 1.** Результаты U–Pb-SHRIMP-исследований цирконов из гранитоидов Малкинского поднятия Срединного хребта

№ точки	$^{206}\text{Pb}_{\text{обыч}}, \%$	U, г/т	Th, г/т	Th/U	Некорректированные		$^{204}\text{Pb}$ корректированные
					$^{238}\text{U}/^{206}\text{Pb}$	$^{207}\text{Pb}/^{206}\text{Pb}$	
438-1.1.1	2.27	267	55	0.21	$73.42 \pm 2.3$	$0.0594 \pm 0.0020$	$85.0 \pm 3.0$
-1.2.1	1.93	220	33	0.15	$70.02 \pm 2.3$	$0.0556 \pm 0.0019$	$90.0 \pm 3.0$
-1.3.1	0.86	213	39	0.19	$74.68 \pm 2.4$	$0.0550 \pm 0.0019$	$85.0 \pm 3.0$
-1.4.1	0.05	244	36	0.15	$74.78 \pm 2.5$	$0.0534 \pm 0.0021$	$85.0 \pm 3.0$
-1.5.1	1.38	768	62	0.08	$90.77 \pm 2.9$	$0.0597 \pm 0.0014$	$70.0 \pm 2.0$
-1.5.2	1.62	177	36	0.21	$69.47 \pm 2.3$	$0.0562 \pm 0.0025$	$91.0 \pm 3.0$
-1.6.1	1.37	127	22	0.18	$74.63 \pm 2.7$	$0.0656 \pm 0.0035$	$85.0 \pm 3.0$
-1.6.2	0.38	346	25	0.08	$77.59 \pm 2.5$	$0.0548 \pm 0.0020$	$82.0 \pm 3.0$
-1.6.3	2.04	279	28	0.1	$78.21 \pm 2.6$	$0.0562 \pm 0.0022$	$80.0 \pm 3.0$
-1.7.1	0.06	4542	406	0.09	$80.86 \pm 2.5$	$0.0473 \pm 0.0005$	$79.0 \pm 2.0$
439-1_1.1	0.4	434	157	0.37	$83.3 \pm 1.9$	$0.0487 \pm 0.0012$	$76.6 \pm 1.8$
-1_2.1	2.67	827	27	0.03	$84.4 \pm 1.9$	$0.0779 \pm 0.0025$	$73.9 \pm 1.7$
-1_3.1	1.92	775	181	0.24	$82.2 \pm 1.9$	$0.0684 \pm 0.0011$	$76.5 \pm 1.8$
-1_4.1	0.33	2053	275	0.14	$79.7 \pm 1.8$	$0.05267 \pm 0.0006$	$80.2 \pm 1.8$
-1_5.1	0.79	446	115	0.27	$88.0 \pm 2.0$	$0.0536 \pm 0.0012$	$72.3 \pm 1.7$
-1_6.1	0.38	256	73	0.29	$79.3 \pm 1.8$	$0.0517 \pm 0.0016$	$80.4 \pm 1.9$
-1_7.1	0.02	2568	178	0.07	$86.7 \pm 1.9$	$0.04739 \pm 0.0005$	$73.9 \pm 1.6$
-1_8.1	0.88	440	63	0.15	$85.4 \pm 2.0$	$0.0557 \pm 0.0013$	$74.4 \pm 1.7$
-1_9.1	0.2	542	246	0.47	$82.2 \pm 1.9$	$0.0508 \pm 0.0011$	$77.8 \pm 1.8$
-1_10.1	0.58	409	111	0.28	$81.5 \pm 1.9$	$0.0522 \pm 0.0013$	$78.1 \pm 1.8$
427_1.1.1	0.52	964	39	0.04	$79.2 \pm 2.1$	$0.0526 \pm 0.0017$	$80.4 \pm 2.1$
_1.2.1	0.3	2485	314	0.13	$118.6 \pm 3.1$	$0.0514 \pm 0.0011$	$54.0 \pm 2.1$
_1.2.2	0.09	708	136	0.2	$109.6 \pm 3.0$	$0.0534 \pm 0.0039$	$58.5 \pm 2.1$
_1.3.1	0.38	307	133	0.45	$76.5 \pm 2.1$	$0.0633 \pm 0.0070$	$83.3 \pm 2.1$
_1.4.1	0.23	1603	110	0.07	$93.7 \pm 2.4$	$0.0488 \pm 0.0012$	$68.2 \pm 2.1$
_1.5.1	2.56	334	52	0.16	$76.9 \pm 2.2$	$0.0743 \pm 0.0074$	$81.1 \pm 2.1$
_1.6.1	2.64	525	143	0.28	$80.0 \pm 2.2$	$0.0673 \pm 0.0022$	$78.0 \pm 2.1$
_1.7.1	0.74	382	133	0.36	$75.9 \pm 2.1$	$0.0585 \pm 0.0051$	$83.7 \pm 2.1$
_1.8.1	2.5	333	73	0.23	$79.0 \pm 2.2$	$0.0566 \pm 0.0024$	$79.1 \pm 2.1$
_1.9.1	2.35	267	171	0.66	$76.4 \pm 2.2$	$0.0557 \pm 0.0025$	$81.9 \pm 2.1$



**Рис. 4.** График конкордии для U—Pb-SHRIMP-данных по цирконам из среднезернистых двуслюдяных гранитов (обр. 427/1) Малкинского поднятия Срединного хребта Камчатки.

Таким образом, надежно подтвержден позднемеловой (кампанский) этап гранитообразования и становления новообразованной континентальной коры Камчатки. 2. Анализ возраста гранитоидов по площади показывает, что в северных районах Малкинского поднятия преобладают граниты с возрастом  $52 \pm 2$  млн. лет, маркирующие этап коллизии Ачайваем-Валагинской энсиматической островной дуги с Камчатской окраиной Евразии в раннеэоценовое время, а в южных районах — граниты позднемелового возраста ( $76$ – $82$  млн. лет), внедрение которых,

вероятно, происходило в аккреционной обстановке на Камчатской окраине Евразии.

Работа выполнена при финансовой поддержке РФФИ (грант 07-05-00255), ФЦНТП “Ведущие научные школы” (НШ-3172.2008.5), гранта Президента РФ МД-2721.2008.5, Программ фундаментальных исследований ОНЗ РАН № 4 и № 6, Фонда содействия отечественной науке.

#### СПИСОК ЛИТЕРАТУРЫ

1. Соловьев А.В. Изучение тектонических процессов в областях конвергенции литосферных плит метода-

- ми трекового датирования и структурного анализа. Тр. ГИН. М.: Наука, 2008. В. 577. 319 с.
2. *Лучицкая М.В., Соловьев А.В., Хоуриган Дж.К.* // Геотектоника. 2008. № 4. С. 49–69.
  3. *Hourigan J.K., Brandon M.T., Soloviev A.V. et al.* // Amer. J. Sci. 2009. V. 309. P. 333–396.
  4. *Ruxthorpe A.B.* // Геотектоника. 1995. № 1. С. 71–78.
  5. *Кирмасов А.Б., Соловьев А.В., Хоуриган Дж.К.* // Геотектоника. 2004. № 4. С. 64–90.
  6. *Williams I.S.* // Rev. Econ. Geol. 1998. V. 7. P. 1–35.
  7. *Ludwig K.R. SQUID 1.00. A User's Manual* // Berkeley Geochronol. Center Spec. Publ. 2000. № 2.
  8. *Black L.P., Kamo S.L., Allen C.M. et al.* // Chem. Geol. 2003. V. 200. P. 155–170.
  9. *Wetherill G.W.* // Trans. Amer. Geophys. Union. 1956. V. 3–7. P. 320–326.
  10. Карта полезных ископаемых Камчатской области 1 : 500 000 / Под ред. А.Ф. Литвинова, М.Г. Патока, Б.А. Марковского. СПб.: ВСЕГЕИ, 1999.
  11. *Шапиро М.Н., Соловьев А.В., Хоуриган Дж.К.* // Геотектоника. 2008. № 6. С. 70–92.